



## سچن از دور و سامانه اطلاعات جغرافیایی در منابع طبیعی (سال هشتم / شماره دوم) تابستان ۱۳۹۶

نمایه شده در سایت: پایگاه استادی علوم جهان اسلام، جهاد دانشگاهی، مگ ایران، نورمگز

آدرس وب سایت: <http://girs.iaubushehr.ac.ir>



# ارزیابی تخریب منطقه حفاظت شده جاجرود با استفاده از مدل تخریب سیمای سرزمین

افشین دانه کار<sup>۱</sup>، شیرکو جعفری<sup>۲\*</sup>

۱. دانشیار دانشکده منابع طبیعی، دانشگاه تهران

۲. دانشجوی دکتری محیط زیست، دانشگاه تهران

### مشخصات مقاله

### چکیده

مدل تخریب یکی از روش‌های ارزیابی آثار محیط زیستی است که به صورت گسترده جهت ارزیابی آثار تجمعی فعالیت‌های انسانی به کار می‌رود. همچنین از سویی نمایه‌های سیمای سرزمین به عنوان ابزارهای کمی‌سازی وضعیت سیمای سرزمین، کاربرد گسترده‌ای در برنامه‌ریزی سیمای سرزمین دارند. یکی از این کاربردها، استفاده نمایه‌ها در مدل ارزیابی تخریب سیمای سرزمین است. هدف این پژوهش ارزیابی تخریب سیمای سرزمین در منطقه حفاظت شده جاجرود است. بدین منظور، برای کمی نمودن نمایه‌های سیمای سرزمین از نقشه کاربری/پوشش منطقه حفاظت شده جاجرود برای ۱۶ زیرحوزه استفاده شد. برای تهیه نقشه کاربری/پوشش، ابتدا تصویر ماهواره‌ای لندست را پیش‌پردازش نموده و سپس با استفاده از روش هیرید، تصویر در طبقات مختلف کاربری/پوشش طبقبندی شد. سپس با توجه به مدل تخریب سیمای سرزمین، درجه آسیب‌پذیری بوم‌شناختی، تعیین شدت فعالیت‌ها و میزان تخریب در سیمای سرزمین محاسبه شد. نتایج این مطالعه نشان می‌دهد که زیرحوزه ۵ با میزان ۳۱ در منطقه دارای بالاترین عدد تخریب سیمای سرزمین است و زیرحوزه‌های ۱، ۱۳ و ۱۵ بعد از آن قرار دارند و به ترتیب دارای اعداد ۲۵، ۲۲ و ۲۰ هستند. همچنین زیرحوزه‌های ۷، ۴ و ۲ به ترتیب دارای ارزش‌های  $3/5$ ،  $3/25$  و  $3/20$  هستند که نشان می‌دهد که این زیرحوزه‌ها دارای کمترین تکه شدگی می‌باشد. نتایج نشان داد که حدود ۶۸٪ از منطقه مستعد توسعه یا توسعه بیشتر است، فقط ۱۷٪ از منطقه مستعد حفاظت است. حدود ۱۳٪ از منطقه نیازمند بازسازی است که نشان‌دهنده تخریب پوشش طبیعی و تغییر کاربری در منطقه است.

\*: پست الکترونیکی مسئول مکاتبات: [jaafari@ut.ac.ir](mailto:jaafari@ut.ac.ir)

## مقدمه

یکی از روش‌های ارزیابی اثرات توسعه بر محیط زیست مدل تخریب است (۳۲). مدل تخریب محیط‌زیست در واقع آثار تجمعی فعالیت‌های انسانی را در مقیاس منطقه‌ای یا آبخیز، تحلیل و مقدار آن را به صورت کمی بیان می‌کند. مدل تخریب در دسته‌بندی کلی مدل‌ها، جزو مدل‌های اطلاعاتی برای مدیریت کلان در منابع طبیعی محسوب می‌شود. این مدل از نوع تجزیه و تحلیل سیستمی است و در ساختار آن از شیوهٔ مدل‌سازی ریاضی بهرهٔ گرفته شده است (۱۹).

از دهه ۱۹۹۰ تا به حال، همراه با پیشرفت‌های قابل توجه در بوم‌شناسی سیمای سرزمین، سنجه‌های سیمای سرزمین به ابزارهایی برای برنامه‌ریزی، ارزیابی، پایش الگوی سیمای سرزمین و ارزیابی آثار محیط‌زیستی توسعهٔ تبدیل شده است (۳۶). سنجه‌های سیمای سرزمین الگوریتم‌هایی برای کمی کردن خصوصیات مکانی لکه‌ها، طبقه و موzaیک سیمای سرزمین هستند که امکان مقایسه پهنه‌های مختلف با استفاده از یک روش مشابه و مقایسه سیمای سرزمین مشخص با گرینه‌های مختلف زمانی و مکانی را می‌دهد.

مدل تخریب محیط زیست برای اولین بار توسط مخدوم (۱۳) ابداع شد. جوزی و همکاران (۶) به بررسی آثار محیط‌زیستی توسعه شهری و خدماتی در شهر بندرعباس با استفاده از مدل تخریب پرداختند و نتایج این مطالعه نشان داد که از میان ۱۴۹ واحد مطالعاتی، ۱۳۰ واحد نیازمند بازسازی و ۱۸ واحد نیازمند اقدام‌های حفاظتی و در نهایت یک واحد مستعد توسعه هستند. جعفری و همکاران (۵) با استفاده از مدل تخریب دست به تعیین آثار توسعه بر محیط‌زیست استان چهارمحال و بختیاری و بررسی امکان توسعه بیشتر دهستان‌ها زدند و نتایج این مطالعه نشان داد که از نظر شدت تخریب در گذشته، از کل مساحت استان، ۰/۶۴٪ مستعد توسعه بیشتر، ۰/۳۱٪ دارای قابلیت توسعه مشروط به انجام عملیات بهسازی و ۰/۳٪ دارای قابلیت محدود توسعه است. سپهر و همکاران (۹) به ارزیابی کیفیت سرزمین مجموعه حفاظت‌شده توران با استفاده از مدل تخریب پرداخته و سپس،

افزایش روزافرون جمعیت و شهرنشینی در سطح جهانی، فشار بر عرصه‌های طبیعی را افزایش داده و بهره‌برداری بی‌رویه و غیراصولی از اراضی و تغییر کاربری‌ها، باعث عکس‌عمل‌های متفاوت اکوسیستم‌ها شده است (۳۱). این افزایش شهرنشینی در سال ۱۹۵۰ حدود ۳۰ درصد و در سال ۲۰۱۴ حدود ۵۰ درصد بوده و پیش‌بینی می‌شود در سال ۲۰۵۰ به ۶۶ درصد برسد (۴۰).

گسترش شهرنشینی منجر به افزایش فعالیت‌های انسانی مثل تخریب پوشش گیاهی، توسعه کشت غلط و تکنیک‌های نامناسب کشاورزی می‌شود (۲۴). افزایش عمق آثار ناشی از فعالیت‌های انسان موجب شده است که پژواک این فعالیت‌ها در همه مکان‌ها حتی نواحی کاملاً طبیعی (مانند پارک‌های ملی) نیز احساس شود (۲۶). این آثار اغلب به صورت غیرمستقیم و به علت تغییرات روی داده در اراضی مجاور مناطق تحت حفاظت و گاه به صورت مستقیم و از طریق حضور کاربری‌های ناسازگار درون آن‌ها که با هدف اولیه حفاظت در تضاد کامل است، باعث تخریب ساختار سیمای سرزمین و جلوگیری از تحقق اهداف این مناطق می‌شوند (۳۴). چنانچه بخواهیم محیط‌زیست طبیعی را حفظ کرده و نیازهای زیست‌محیطی بشر را برآورده سازیم، برنامه‌ریزی محیطی باید بر اساس کلیه تصمیمات مربوط به حفاظت و ارتقای کیفیت محیط را با نیاز مردم به توسعه زمین برای تأمین الزامات مربوط به کاربری زمین مرتبط می‌سازد (۴). آنچه مسلم است، توسعه بدون برناهای می‌سازد (۴). اگرچه توسعه بدون بر جای گذاشتن آثار عمیق و اغلب غیرقابل جبران امکان‌پذیر نیست. از ابزارهای مهم و اساسی برای دستیابی به اهداف توسعه پایدار در محیط‌زیست، می‌توان به ارزیابی توان اکولوژیک و آمایش سرزمین (۱۳) برآورد ظرفیت برد یا حداقل میزان استفاده از منابع (۱۱) و ارزیابی اثرات زیست‌محیطی طرح‌های توسعه (۱۶) کشاورزی کرد.

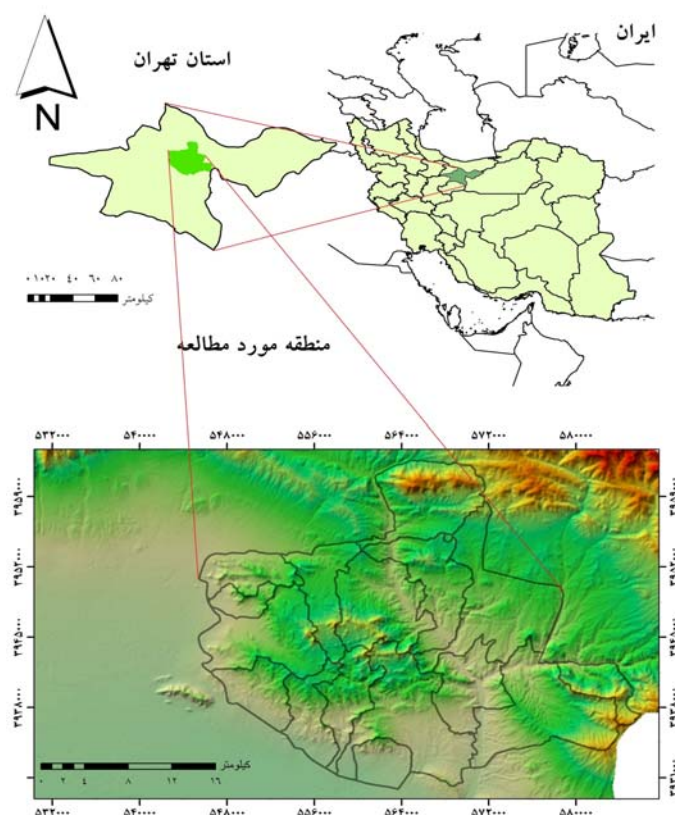
این مطالعه نیز از مدل تخریب سیمای سرزمین به منظور تحلیل تخریب و تعیین میزان آسیب‌پذیری بوم‌شناختی در سطح سیمای سرزمین منطقه حفاظت شده جاجرود در استان تهران استفاده شد.

## مواد و روش‌ها

### منطقه مورد مطالعه

وسعت منطقه حفاظت شده جاجرود در حدود ۵۵۱۸ هکتار با در برگرفتن دو پارک ملی خجیر با مساحتی برابر ۱۵۷۰ هکتار و سرخه‌حصار با مساحتی برابر ۹۳۸۰ هکتار است. منطقه حفاظت شده سرخه‌حصار و جاجرود واقع در شرق تهران منطقه‌ای با پستی و بلندی متعدد است به طوری که پست‌ترین نقاط آن در متنهای الیه نواحی جنوبی آن با ارتفاعی حدود ۱۱۵۰ متر و بلندترین نقطه آن آرا کوه با ارتفاعی حدود ۲۵۵۰ متر است (شکل ۱). رودخانه جاجرود از وسط این منطقه عبور می‌کند که از سرشاخه‌های مهم رودخانه جاجرود می‌توان از آب میگون آب آهار، رودخانه نوارک که قبل از سد لیان به هم پیوسته و در پائین‌دست رودخانه دماوند با سرشاخه‌هایی مانند ایراوا کریتون در محل ماملو به جاجرود ملحق و در جهت جنوب طی مسیر می‌دهد و پائین‌تر از روستای حمامک در دشت ورامین پخش می‌گردد. به طور کلی منطقه زیر سیطره دو جنس غالب گون و درمنه می‌باشد که در اکثر نواحی غالب است. در این منطقه مجموعاً ۵۱۷ گونه گیاهی و همچنین تعداد ۳۸ گونه از رده پستانداران، تعداد ۱۱۸ گونه از رده پرنده‌گان، تعداد ۲۷ گونه از رده خزنده‌گان، دو گونه دوزیست و هفت گونه ماهی شناسایی شده است (۱۷).

منطقه را به لحاظ کیفیت سرزمین پهنه‌بندی نمود. نتایج این مطالعه نشان داد که ترکیب سطوح حفاظتی سرزمین نقش تعیین‌کننده‌ای در حفظ کیفیت سرزمین ندارند. برای نخستین بار خزایی و آذری دهکردی (۲۸) دست به ابتکار زده و مدل تخریبی با رویکرد سیمای سرزمین را معرفی نمودند که این مدل پس از کالیبره نمودن مدل برای اجرا در ژاپن و افروندن سنجه‌های سیمای سرزمین در ساختار مدل، نسخه دیگری از مدل تحت عنوان مدل تخریب سیمای سرزمین شکل گرفت. شیخ‌گودرزی و همکاران (۱۰) به ارزیابی تخریب سیمای سرزمین حوزه کرگان‌رود پرداختند و نتایج آن‌ها نشان داد که زیرحوزه‌های آبخیز از نظر شدت و میزان تخریب با یکدیگر متفاوت هستند و همچنین در مجموع ۳۲٪ از مساحت حوزه دارای توان درجه ۱ توسعه، ۲۷٪ دارای توان درجه ۲ توسعه، ۲۱٪ نیازمند بازسازی و ۲۰٪ نیازمند اقدامات حفاظتی بود. ایرانخواهی و جوزی (۳) به ارزیابی تخریب سیمای سرزمین شهرستان شمیرانات با استفاده از شبکه هگراگون پرداختند و نتایج این مطالعه بیانگر این بود که در مجموع، ۷۳٪ از مساحت شهرستان شمیرانات با وضعیت تخریب کم و مستعد توسعه شناسایی است که با رعایت محدودیت‌های اکولوژیکی و حریم‌های (رود دره‌ها، فاصله از گسل‌های اصلی و مناطق حفاظت شده) قابل توسعه است. همچنین، ۲۳٪ نیازمند بازسازی و احیاء و ۴٪ نیازمند اقدامات حفاظتی شناسایی شد. آگنوم و همکاران (۲۰) به بررسی آثار ناشی از فعالیت‌های انسان بر روی اکوسیستم‌های جنگلی و ارزیابی پیامدهای آن‌ها در حوزه جنگل با استفاده از مدل تخریب پرداختند و نتایج آن‌ها بیانگر کارایی بالای مدل در نشان دادن تخریب بود. در



شکل ۱. موقعیت جغرافیایی منطقه حفاظت شده جاجرود

### پیش‌پردازش تصویر

لازم استفاده از تصاویر ماهواره‌ای این است که کیفیت داده‌ها از لحاظ رادیومتری و هندسی قبل از استفاده مورد بررسی قرار گیرد و اطمینان حاصل شود که داده‌ها عاری از هر گونه خطای رادیومتری و هندسی هستند (۱۵). برای تهیه نقشه کاربری اراضی از تصویر ماهواره‌ای، ابتدا تصاویر با استفاده از نقشه توپوگرافی ۱:۲۵۰۰۰ در نرم‌افزار ENVI و به روش درون‌یابی نزدیکترین همسایه تصحیح هندسی و سپس تصحیح رادیومتریک (۲۳) شد.

### طبقه‌بندی تصویر

برای تفکیک و شناسایی طبقات کاربری از ترکیب باندهای ۲، ۳ و ۴ تصویر استفاده شد (۳۸) و با استفاده از روش هیبرید (Hybrid)، چهار نوع طبقه کاربری شامل مرتع خوب، مرتع فقیر، باغ و مناطق مسکونی برای منطقه تعریف

### روش تحقیق

برای انجام این پژوهش از داده‌های تصویر ماهواره‌ای لندست ۵ سنجنده TM با گذر ۱۶۵ و ردیف ۳۵ مربوط به سال ۲۰۱۰ میلادی برای تهیه نقشه کاربری و از نقشه راه‌ها، نقشه توپوگرافی و هیدرولوگرافی در مقیاس ۱:۲۵۰۰۰ (تهیه شده توسط سازمان نقشه‌برداری کشور) به منظور پهنه‌بندی و انقطاع سرزمین استفاده شد. همچنین از نرم‌افزارهای ENVI<sup>®</sup> 4.7 و ArcGIS<sup>®</sup> 10.4 و FRAGSTATS<sup>®</sup> 4 برای پردازش تصاویر و تهیه خروجی و محاسبه نمایه‌ها استفاده شد. پس از تهیه مرز منطقه حفاظت شده جاجرود، با استفاده از نقشه‌های توپوگرافی و هیدرولوگرافی، محدوده، زیرحوزه‌ها نیز به روش جهت جریان (۳۵) در محیط ArcGIS تهیه شد. کمی کردن ساختار و محاسبه نمایه‌های سیمای سرزمین نیازمند تهیه نقشه کاربری و پوشش است.

نقشه‌های انقطاع تهیه شده (برای هر ۱۶ زیرحوزه) در این مرحله به عنوان داده‌های ورودی برای استخراج نمایه‌های سیمای سرزمین و محاسبه پارامترهای مدل (تجزیه و تحلیل سیستمی) مورد استفاده قرار گرفت. پس نقشه هر کدام از زیرحوزه‌ها (زیرحوزه‌ها همان واحدهای کاری می‌باشند) به عنوان ورودی به نرم‌افزار FRAGSTATS معرفی شد و پس از اجرای نرم‌افزار، خروجی‌ها (میزان عددی نمایه‌ها) ذخیره و تفسیر شدند.

#### مدل ارزیابی تخریب سیمای سرزمین

اولین نسخه از مدل تخریب در ایران توسط مخدوم (۳۲) ارائه شد. در این روش ابتدا با بررسی میدانی کلیه عوامل تخریب در هر واحد کاری شناسایی و اندازه‌گیری و سپس معادله تخریب (رابطه ۱) اجرا می‌شود.

$$H_i = (\Sigma I + DP_i) / V_i \quad [1]$$

در این رابطه؛  $H_i$  به عنوان ضریب تخریب در واحدهای کاری انتخاب شده،  $\Sigma I$  آثار تجمعی عوامل تخریب در گذشته و حال،  $DP$  تراکم فیزیولوژیک (نسبت جمعیت به سطح کشتزارها) در واحدهای کاری تا شماره  $n$  درجه آسیب‌پذیری زیستگاه در واحد کاری  $i$  است.

بر مبنای روش مخدوم (۳۲)، آذری دهکردی (۲۱) مدل تخریب سیمای سرزمین را طبق رابطه ۲ ارائه کرد که در این تحقیق از مدل تخریب سیمای سرزمین جهت ارزیابی تخریب منطقه حفاظت شده جاجرود استفاده شد.

$$L_D = \Sigma kI / V_i \quad [2]$$

در این رابطه؛  $L_D$  ضریب تخریب در واحدهای کاری (زیرحوزه‌ها) در سطح سیمای سرزمین،  $\Sigma kI$  نمایه شدت فعالیت‌های انسان در تخریب سیمای سرزمین در هر واحد کاری (زیرحوزه‌ها)،  $V$  آسیب‌پذیری بوم‌شناختی تعیین شده در واحد کاری  $i$  (زیرحوزه‌ها).

شد. روش هیبرید شامل تلفیق دو روش طبقه‌بندی رقومی و بصری است. در این تحقیق در طبقه‌بندی رقومی از طبقه‌بندی نظارت شده و روش حداکثر احتمال استفاده شد (۱۲). پس برای تهیه سه طبقه کاربری مرتع خوب، مرتع فقیر، باغ از روش حداکثر احتمال در نرم‌افزار ENVI استفاده شد. همچنین به دلیل حساسیت تصویر در مورد طبقه مناطق مسکونی از تفسیر بصری و روش کشیدگی کنتراست با استفاده از باندهای ۴ و ۷ در محیط ArcGIS استفاده شد. دلیل استفاده از باندهای ۱، ۴ و ۷ جهت نمایش بهتر طبقه مناطق مسکونی در تفسیر بصری بود. سپس همه طبقات کاربری با هم تلفیق شده و نقشه کاربری سرزمین نهایی تهیه گردید.

#### ارزیابی صحت

برای ارزیابی صحت طبقه‌بندی از دو پارامتر صحت کلی (Overall Accuracy) و ضریب کاپا (Kappa Coefficient) استفاده شده است. صحت کلی یکی از ساده‌ترین پارامترهای دقت است که نیاز به عملیات پیچیده‌ای برای محاسبه نداشته و برآورده کلی از صحت طبقه‌بندی یا به اصطلاح دقیق‌تر، میانگینی از دقت طبقه‌بندی است. ضریب کاپا نیز از ماتریس خطای استخراج می‌شود که صحت طبقه‌بندی را نسبت به یک طبقه‌بندی کاملاً تصادفی محاسبه می‌کند (۸). در نهایت برای ارزیابی صحت نقشه تهیه شده از نقاط برداشت شده با GPS حاصل از کار میدانی استفاده شد (۳۸) تا صحت کلی و ضریب کاپا محاسبه گردد. نمونه‌برداری میدانی در تاریخ ۲۵ اردیبهشت تا ۳۰ خرداد سال ۱۳۹۱ انجام شد که حدود ۸۰ نقطه به صورت تصادفی و با توجه به میسر بودن دسترسی در عرصه میدانی صورت گرفت. در مرحله بعد برای به دست آوردن نقشه میزان انقطاع سیمای سرزمین در محدوده مطالعاتی، از همپوشانی نقشه‌های راه و کاربری سرزمین تهیه شده در محیط Arc GIS استفاده شد (۲۸). نقشه کاربری و راه نشان‌دهنده فعالیت‌های انسانی و توسعه در منطقه هستند که باعث از هم گسیختگی پوشش‌های طبیعی منطقه می‌شود.

تعیین فهرست فعالیت‌های انسانی در سیمای سرزمین گسیختگی سیمای سرزمین، یکی از مهم‌ترین فرآیندهای است که ساختار و عملکرد سیمای سرزمین را تحت تأثیر قرار می‌دهد و سبب تقسیم سرزمین به قطعات کوچک‌تر می‌شود (۳۷). پس از مشخص شدن میزان گسیختگی در سیمای سرزمین، می‌توان به محاسبه نمایه‌ها و شاخص‌های مربوطه پرداخت. نمایه‌های بوم‌شناختی سیمای سرزمین، ابزاری مفید برای ورود دیدگاه‌های اکوسیستمی در برنامه‌ریزی‌های محیط‌زیست محسوب می‌شوند که به کمک این نمایه‌ها می‌توان فرآیندهای سیمای سرزمین را به صورت کمی اندازه‌گیری کرد (۲۹). نمایه‌های انتخاب شده به عنوان عوامل تخریب سیمای سرزمین در این تحقیق، به شرح جدول ۱ می‌باشد.

مبانی قضاوت در دسته‌بندی بخش‌های سرزمین به عنوان طبقه‌های تخریب در مدل ارائه شده همان حفظ ارزش‌های بوم‌شناختی منطقه است.

بر این اساس هرچه اکوسیستم طبیعی منطقه کمتر دستخوش تغییرات شده باشد، در مدل تخریب به عنوان طبقه‌های مستعد حفاظت بیشتر شناخته می‌شود. همچنین بخش‌هایی از سرزمین که در سیمای پوششی خود با تخریب و تغییر شدید همراه بوده نیز به عنوان طبقه‌های مستعد توسعه بیشتر در نظر گرفته می‌شوند (۲۱).

در این روش دسته‌بندی و تعیین شدت نمایه فعالیت‌های انسانی، درجه آسیب‌پذیری بوم‌شناختی و حدود طبقه‌های تخریب سیمای سرزمین در این الگو، بر اساس میانه داده‌ها نجام می‌شود (۲۸).

جدول ۱. نمایه‌های سیمای سرزمین مورد استفاده در تعیین فهرست فعالیت‌ها (۳۱)

تفصیر	سطح مورد بررسی		علامت اختصاری	نمایه‌های سیمای سرزمین
	طبقه	سیمای سرزمین		
این نمایه تعداد کل لکه‌ها را محاسبه می‌کند (بدون واحد)	*		NP	تعداد لکه
این نمایه میانگین اندازه لکه‌ها را محاسبه می‌کند (هکتار)	*		MPS	میانگین اندازه لکه
این نمایه میانه اندازه لکه‌ها را بر اساس مساحت لکه و معادله آماری میانه محاسبه می‌کند (هکتار)	*		MedPS	میانه اندازه لکه
این نمایه مجموعه محیط کلیه لکه‌ها را محاسبه می‌کند (متر)	*		TE	حاشیه کل
این نمایه معادل طول تمامی حاشیه‌ها تقسیم بر مساحت لکه است (متر / هکتار)	*		ED	تراکم حاشیه
این نمایه میانگین ابعاد فشردگی لکه را محاسبه می‌کند. میزان این نمایه هرچه به یک نزدیک‌تر باشد، بیان‌کننده یکنواختی بیشتر در لکه خواهد بود (بدون واحد)	*		MFPD	نمایه بعد فرکتال
این نمایه تنوع را در هر پهنه، به‌طور نسبی محاسبه می‌نماید. در سیمای سرزمینی با یک لکه این شاخص برابر ۰ و با افزایش تعداد لکه افزایش می‌یابد (بدون واحد)	*		SDI	نمایه تنوع شنون
شاخص پیچیدگی شکل لکه است و با افزایش بی‌نظمی در شکل مقدار این نمایه افزایش پیدا می‌کند. برای لکه‌های مدور میزان این نمایه برابر ۱ است (بدون واحد)	*		MSI	نمایه شکل

تعیین درجه آسیب‌پذیری بوم‌شناختی در سیمای سرزمین  
آسیب‌پذیری درجه‌ای است که یک سیستم، زیر سیستم یا اجزای آن است که بر اثر قرارگیری در برابر عوامل محرك بیرونی عملًا خسارت می‌بیند (۳۹). یکی از راه‌های تعیین آسیب‌پذیری، کمی کردن ساختار سرزمین از طریق استخراج نمایه‌های سیمای سرزمین است (۲۹). بر مبنای اصول بوم‌شناسی سیمای سرزمین، هرچه تعداد لکه‌های یک بوم‌سازگان یا زیر حوزه کمتر باشد و به عبارتی دیگر هرچه کاربری موجود در آن یکنواخت‌تر باشد، آن بوم‌سازگان در معرض آسیب‌پذیری کمتری قرار دارد (۲۵). لذا در مدل تخریب سیمای سرزمین، از نمایه تعداد لکه (NP) جهت تعیین آسیب‌پذیری بوم‌شناختی استفاده شد. برای به دست آوردن مقیاس مناسب جهت تعیین درجه آسیب‌پذیری بوم‌شناختی نیز همانند تفکیک دامنه شدت فعالیت‌ها، از مقیاس میانه داده‌ها استفاده شد. طبقه‌های تعیین شده برای تفکیک آسیب‌پذیری بوم‌شناختی در جدول ۲ ارائه شده است.

جدول ۲. طبقه‌های آسیب‌پذیری بوم‌شناختی در سیمای سرزمین (۲۸)

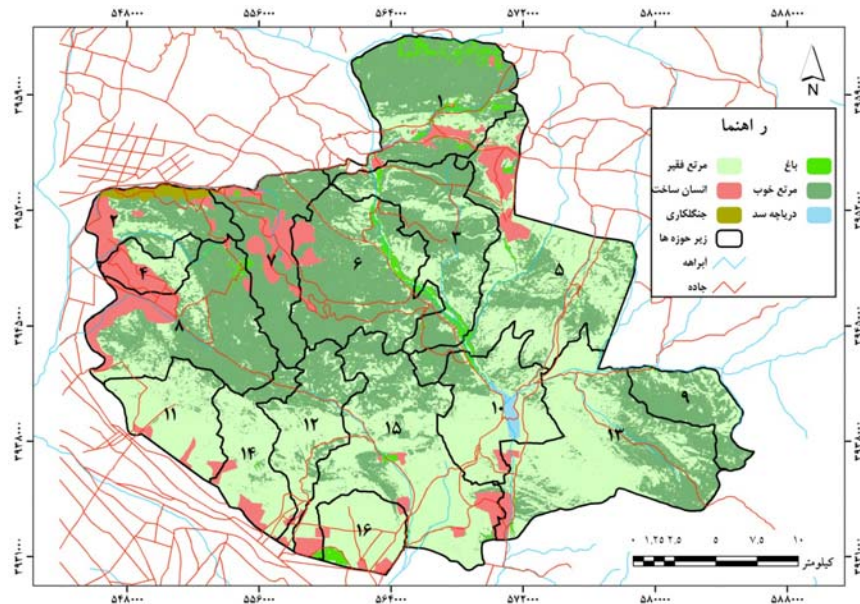
کد طبقه	درجه آسیب‌پذیری	دامنه آسیب‌پذیری (تعداد لکه)
V <sub>4</sub>	آسیب‌پذیر	X ≥ Q <sub>3</sub>
V <sub>3</sub>	حساس	Q <sub>3</sub> > X ≥ Q <sub>2</sub>
V <sub>2</sub>	نیمه حساس	Q <sub>2</sub> > X ≥ Q <sub>1</sub>
V <sub>1</sub>	مقاوم	Q <sub>1</sub> > X

### پارامترهای مدل و تعیین حدود طبقات تخریب در سیمای سرزمین (L<sub>D</sub>)

نقشه گستگی سیمای سرزمین حاصل از همپوشانی نقشه‌های راه و کاربری سرزمین در منطقه حفاظت شده جاجرود در شکل ۲ آورده شده است. با استفاده از این نقشه، نمایه‌های مختلف برای پهنه‌های مورد بررسی استخراج و بر اساس میانه در چهار گروه کیفی دسته‌بندی شدند که نتایج آن در جدول ۳ و به تفکیک هر زیرحوزه ارائه شده است.

### نتایج

پس از زمین مرجع نمودن تصویر با نقشه توپوگرافی، خطای میانگین ریشه مربعات ۰/۴۲ پیکسل به دست آمد. نقشه کاربری تهیه شده شامل شش طبقه مرتع خوب، مرتع فقیر، باغ، جنگل دست‌کاشت، مناطق انسان‌ساخت و دریاچه سد ماملو بود که برای محاسبه نمایه‌های سیمای سرزمین از آن استفاده شد (شکل ۲). نتایج ارزیابی صحت تصویر شامل صحت کلی و شاخص کاپای ۸۲/۴۹ بدست آمد.



شکل ۲. نقشه گسیختگی سیمای سرزمین در منطقه حفاظت شده جاجرود

جدول ۳. دسته‌بندی نمایه‌های سیمای سرزمین به تفکیک زیرحوزه‌ها

نمایه‌های ترکیب				نمایه‌های ساختاری												
NP	MPS	MedPS	ED	TE	MFPD	MSI	SDI	شدت	شدت	شدت	شدت	شدت	شدت	شدت	شدت	
$X_4 \geq ۸۶۵/۰$	$X_1 \geq ۸/۷$	$X_1 \geq ۱/۴۹$	$X_4 \geq ۲/۷۲$	$X_4 \geq ۳۹۱۰۵۰$	$X_4 \geq ۱/۰۴$	$X_4 \geq ۱/۲۴$	$X_4 \geq ۰/۹۳$									
$>X_3 \geq ۵۸۴$	$>X_2 \geq ۸/۰۷$	$>X_2 \geq ۱/۳۷$	$>X_3 \geq ۱/۵۴$	$>X_3 \geq ۲۳۰۱۳۰$	$>X_3 \geq ۱/۰۴$	$>X_3 \geq ۱/۲۳$	$>X_3 \geq ۰/۷۷$									
$>X_2 \geq ۳۳۶/۵$	$>X_2 \geq ۷/۷۵$	$>X_3 \geq ۱/۲۱$	$>X_2 \geq ۰/۹۵$	$>X_2 \geq ۱۴۱۹۷۵$	$>X_2 \geq ۱/۰۴$	$>X_2 \geq ۱/۲۱$	$>X_2 \geq ۰/۷۵$									
$>X_1$	$>X_4$	$>X_4$	$>X_1$	$>X_1$	$>X_1$	$>X_1$	$>X_1$									
کمیت	کمیت	کمیت	کمیت	کمیت	کمیت	کمیت	کمیت	کمیت	کمیت	کمیت	کمیت	کمیت	کمیت	کمیت	کمیت	
۹۱۵	I <sub>4</sub>	۷۵۹	I <sub>4</sub>	۱/۱	I <sub>4</sub>	۲/۶۱	I <sub>3</sub>	۳۸۹۳۱۰	I <sub>3</sub>	۱/۰۴	I <sub>2</sub>	۱/۲۲	I <sub>2</sub>	۰/۹۱	I <sub>3</sub>	۱
۳۲۲	I <sub>1</sub>	۹/۱	I <sub>1</sub>	۱/۵۲	I <sub>1</sub>	۱/۰۵	I <sub>2</sub>	۱۵۶۴۵۰	I <sub>2</sub>	۱/۰۴	I <sub>3</sub>	۱/۲۴	I <sub>3</sub>	۱/۲۷	I <sub>4</sub>	۲
۷۶۵	I <sub>3</sub>	۷/۷۴	I <sub>4</sub>	۱/۳۵	I <sub>3</sub>	۲/۶۳	I <sub>4</sub>	۳۹۷۷۹۰	I <sub>4</sub>	۱/۰۴	I <sub>3</sub>	۱/۲۶	I <sub>4</sub>	۰/۷۶	I <sub>2</sub>	۳
۱۴۳	I <sub>1</sub>	۹/۳۶	I <sub>1</sub>	۱/۵۶	I <sub>1</sub>	۰/۳۸	I <sub>1</sub>	۵۶۷۷۰	I <sub>1</sub>	۱/۰۴	I <sub>1</sub>	۱/۲۴	I <sub>3</sub>	۱/۰۳	I <sub>4</sub>	۴
۱۴۱۴	I <sub>4</sub>	۵/۹۴	I <sub>4</sub>	۰/۹۹	I <sub>4</sub>	۴/۷۹	I <sub>4</sub>	۷۱۴۲۷۰	I <sub>4</sub>	۱/۰۴	I <sub>4</sub>	۱/۲۵	I <sub>3</sub>	۰/۹۶	I <sub>4</sub>	۵
۷۹۴	I <sub>3</sub>	۸/۰۷	I <sub>2</sub>	۱/۳۵	I <sub>3</sub>	۲/۳۲	I <sub>3</sub>	۳۴۰۹۰۰	I <sub>3</sub>	۱/۰۴	I <sub>3</sub>	۱/۲۳	I <sub>2</sub>	۰/۷۷	I <sub>2</sub>	۶
۱۹۶	I <sub>1</sub>	۱۹	I <sub>1</sub>	۳/۸۱	I <sub>1</sub>	۰/۶۲	I <sub>1</sub>	۹۲۲۲۰	I <sub>1</sub>	۱/۰۴	I <sub>4</sub>	۱/۲۳	I <sub>3</sub>	۰/۷۲	I <sub>1</sub>	۷
۸۱۶	I <sub>3</sub>	۷/۸۶	I <sub>3</sub>	۱/۳۱	I <sub>3</sub>	۲/۰۹	I <sub>3</sub>	۳۸۷۰۳۰	I <sub>3</sub>	۱/۰۴	I <sub>3</sub>	۱/۲۴	I <sub>3</sub>	۰/۹۰	I <sub>4</sub>	۸
۲۶۹	I <sub>1</sub>	۸/۲۷	I <sub>2</sub>	۱/۳۸	I <sub>2</sub>	۱/۰۲	I <sub>2</sub>	۱۵۱۳۸۰	I <sub>2</sub>	۱/۰۴	I <sub>3</sub>	۱/۲۶	I <sub>4</sub>	۰/۶۰	I <sub>1</sub>	۹
۵۸۴	I <sub>3</sub>	۷/۲	I <sub>3</sub>	۱/۴۴	I <sub>2</sub>	۱/۵۴	I <sub>3</sub>	۲۳۰۱۳۰	I <sub>3</sub>	۱/۰۳	I <sub>1</sub>	۱/۱۹	I <sub>1</sub>	۰/۷۸	I <sub>3</sub>	۱۰
۳۵۱	I <sub>2</sub>	۸/۸۲	I <sub>1</sub>	۱/۴۷	I <sub>2</sub>	۰/۸۵	I <sub>1</sub>	۱۲۷۵۶۰	I <sub>1</sub>	۱/۰۴	I <sub>2</sub>	۱/۲۱	I <sub>1</sub>	۰/۵۰	I <sub>1</sub>	۱۱
۴۸۴	I <sub>2</sub>	۷/۷۶	I <sub>3</sub>	۱/۱۳	I <sub>4</sub>	۱/۵۴	I <sub>2</sub>	۲۲۹۲۰۰	I <sub>2</sub>	۱/۰۴	I <sub>4</sub>	۱/۲۵	I <sub>4</sub>	۰/۷۵	I <sub>2</sub>	۱۲
۱۳۱۳	I <sub>4</sub>	۷/۵۷	I <sub>4</sub>	۱/۱	I <sub>4</sub>	۳/۸۳	I <sub>4</sub>	۵۷۱۳۸۰	I <sub>4</sub>	۱/۰۳	I <sub>1</sub>	۱/۲	I <sub>1</sub>	۰/۷۷	I <sub>3</sub>	۱۳
۳۷۴	I <sub>2</sub>	۸/۰۸	I <sub>2</sub>	۱/۷۲	I <sub>1</sub>	۰/۸۹	۱	۱۳۲۱۲۰	I <sub>1</sub>	۱/۰۴	I <sub>2</sub>	۱/۲۱	I <sub>1</sub>	۰/۷۵	I <sub>1</sub>	۱۴
۱۰۰۵	I <sub>4</sub>	۸/۴۷	I <sub>2</sub>	۱/۴۱	I <sub>2</sub>	۳/۱۹	I <sub>4</sub>	۴۷۶۲۵۰	I <sub>4</sub>	۱/۰۴	I <sub>1</sub>	۱/۲۲	I <sub>2</sub>	۰/۸۴	I <sub>3</sub>	۱۵
۸۱	I <sub>1</sub>	۲۶/۵	I <sub>1</sub>	۴/۴۱	I <sub>1</sub>	۰/۲۱	I <sub>1</sub>	۲۱۹۵۰	I <sub>1</sub>	۱/۰۴	I <sub>4</sub>	۱/۲۳	I <sub>3</sub>	۰/۵۲	I <sub>2</sub>	۱۶

گردید (جدول ۴). پس از محاسبه عدد تخریب به عنوان ضریب فرو افت برای هر زیرحوزه، از میانه ضرایب برای دسته‌بندی واحدهای کاری استفاده شد (۲۱ و ۳۲).

در گام بعد با استفاده از نتایج جدول ۳، نمایه‌های درجه پذیری بوم‌شناختی، شدت فعالیت‌ها و اعداد تخریب در سیمای سرزمین ( $L_D$ ) به تفکیک زیرحوزه‌های مطالعاتی محاسبه

جدول ۴. تعیین شدت فعالیت، درجه آسیب‌پذیری و میزان تخریب در سیمای سرزمین

ضرایب	عدد تخریب ( $L_D$ )	درجه آسیب‌پذیری (V)	شدت فعالیت ( $\Sigma kI$ )	
	۲۵	۱	۲۵	۱
	۱۹	۴	۴/۷۵	۲
	۲۷	۲	۱۳/۵	۳
	۱۳	۴	۳/۲۵	۴
	۳۱	۱	۳۱	۵
	۲۱	۲	۱۰/۵	۶
	۱۳	۴	۳/۲۵	۷
	۲۵	۲	۱۲/۵	۸
	۱۵	۴	۳/۷۵	۹
	۱۹	۲	۹/۵	۱۰
	۱۱	۳	۳/۶۷	۱۱
	۲۳	۳	۷/۶۷	۱۲
	۲۵	۱	۲۵	۱۳
	۱۱	۳	۳/۶۷	۱۴
	۲۲	۱	۲۲	۱۵
	۱۴	۴	۳/۵	۱۶

۵ با میزان ۳۱ در منطقه دارای بالاترین عدد تخریب (جدول ۴) سیمای سرزمین است و همچنین زیرحوزه‌ای ۱، ۱۳ و ۲۲ بعد از آن قرار دارند و به ترتیب دارای اعداد ۲۵، ۲۵ و ۱۵ هستند. در نتیجه برای حفظ محیط‌زیست موجود منطقه و رفع نیازهای توسعه بهتر است از این محدوده‌ها که دارای سیمای سرزمین تکه‌تکه شده شدید هستند استفاده نمود. زیرا عده‌های بالای تخریب سیمای سرزمین نشان‌دهنده حضور مؤثر انسان و لذا دسترسی‌های بهتر و وجود زیرساخت‌های توسعه مانند آب، برق و راه‌های دسترسی است. البته گاهی حضور انسان در این مناطق به صورت برداشت بی‌رویه از گیاهان دارویی منطقه (پوشش طبیعی منطقه) و تعلیف دام و یا ساخت و ساز غیرقانونی است.

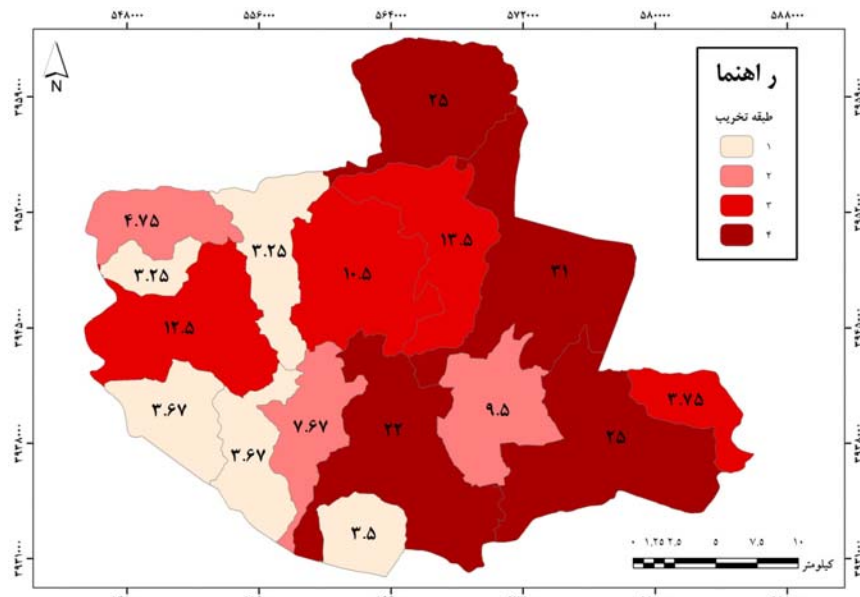
در این تحقیق جهت رویکرد تحلیلی تخریب سرزمین، از نمایه‌ها در سطح سیمای سرزمین استفاده شد. رویکرد منطقی الگوی ارزیابی سیمای سرزمین، در دسته‌بندی و تعیین اولویت واحدهای کاری بر مبنای تخریب در اکوسیستم استوار است (۲۱). بر این اساس طبقه‌بندی زیرحوزه‌ها به درجاتی از توسعه و حفاظت، با توجه به میزان تخریب در سیمای سرزمین ( $L_D$ ) انجام گرفت. به کمک مدل تخریب، سلسله مراتب حاکم بین زیرحوزه‌های منطقه مورد مطالعه با توجه به جدول ۴ سلسله مراتب شدت تخریب در بین زیرحوزه‌های منطقه بر مبنای نمایه‌های سیمای سرزمین عبارت است از؛ ۴>۷>۱۶>۱۱>۱۴>۲>۱۲>۱۰>۸>۶>۳>۱۵>۱۰>۱۳>۵. مثلاً به کمک این مدل مشخص می‌شود که زیرحوزه‌های

دارد. با رتبه‌بندی اولیه‌ای که به این طریق به دست می‌آید، می‌توان زیر حوزه‌هایی را که برای فعالیت‌های بازگردانی مناسب هستند شناسایی نمود و سپس برای هر زیر حوزه برنامه‌ریزی انجام داد (جدول ۵). بر این مبنای، برنامه‌ریزی محیط‌زیستی باید متناسب با فعالیتی باشد که درون هر یک از زیر حوزه‌ها در حال انجام است یا قرار است که انجام گیرد (۴۳). همچنین نتایج نشان داد که حدود ۶۸٪ از منطقه مستعد توسعه یا توسعه بیشتر است و فقط ۱۷٪ از منطقه مستعد حفاظت است. این در حالی است که حدود ۱۳٪ از منطقه نیازمند بازسازی است (جدول ۵). در صدهای پایین طبقه نیازمند بازسازی و مستعد حفاظت نشان می‌دهد که این منطقه حفاظت شده است و از سویی حتی این میزان کم نیز نباید در این مناطق باشد. کمترین و بیشترین سطح از مساحت منطقه حفاظت شده جاگرود به ترتیب مربوط به طبقات  $L_{D2}$  (۱۳/۷۳٪) و  $L_{D4}$  (۰/۴۱٪) است. سهم ۴۱٪ طبقه  $L_{D4}$  از سطح منطقه، بیان‌کننده وقوع تخریب و ایجاد تغییرات عمده در سیمای سرزمین حوزه است (جدول ۵).

متقابلاً زیر حوزه‌های ۱۶، ۷ و ۴ به ترتیب ارزش‌های ۳/۵ و ۳/۲۵ هستند که نشان می‌دهد که این زیرحوزه‌ها دارای کمترین تکه‌تکه شدگی می‌باشند که با توجه به بازدید از منطقه مورد مطالعه، دلیل آن عدم دسترسی انسانی به این مناطق است. ولی برای اینکه از این اعداد در برنامه‌ریزی محیط‌زیست به عنوان یک سامانه پشتیبانی تصمیم‌گیری استفاده شود، باید شدت و دسته‌ای که هر عدد به آن متعلق است مشخص گردد. پس اعداد مربوط به تخریب سیمای سرزمین در جدول ۵ مشخص کننده وضعیت تخریب محیط‌زیست زیرحوزه‌های منطقه هستند. در مرحله بعد اعداد تخریب، بر اساس منطق استانداردسازی تقسیم‌بندی (۳۲، ۴۱ و ۴۲) شدن (اعداد بر اساس چهارک به چهار گروه طبقه‌بندی می‌شوند) تا برای استفاده در سامانه پشتیبانی تصمیم‌گیری در برنامه‌ریزی محیط‌زیست آماده گردند (جدول ۵). همچنین در شکل ۳، طبقات تخریب به صورت مکانی نقشه سازی شده است. هدف از این فرآیند نشان دادن هم‌زمان دسته‌ای است که  $L_D$  به آن دسته تعلق دارد و نشان‌دهنده درجه یا شدتی است که به آن طبقه تعلق

جدول ۵. دسته‌بندی واحدهای مطالعاتی بر اساس ضریب تخریب سیمای سرزمین

کد طبقه	مساحت (هکتار)	تناسب توسعه و حفاظت	دامنه تخریب	درصد
$L_{D1}$	۱۳۵۲۷/۸۲	مستعد حفاظت	X	۳/۶۷ > X
$L_{D2}$	۱۰۴۱۰/۷۷	نیازمند بازسازی	X ≥ ۳/۶۷	۸/۵۸ > X ≥ ۳/۶۷
$L_{D3}$	۲۰۲۲۵/۳۶	مستعد توسعه	X ≥ ۸/۵۸	۱۵/۶ > X ≥ ۸/۵۸
$L_{D4}$	۳۱۶۸۴/۱۵	مستعد توسعه بیشتر	X ≥ ۱۵/۶	۴۱/۷۷



شکل ۳. نقشه طبقات تخریب به همراه با میزان عددی در منطقه حفاظت شده جاجرود

زیرحوزه‌های شماره ۱۰، ۱۲ و ۲ در طبقه  $L_{D2}$  قرار گرفته‌اند که باید از نظر بازسازی در منطقه نیازمند توجه می‌باشند. در نهایت زیرحوزه‌های شماره ۴، ۷، ۱۱، ۱۴ و ۱۶ در طبقه  $L_{D1}$  قرار می‌گیرند که دارای بیشترین تناسب برای حفاظت هستند و باید از دیدگاه حفاظتی به ویژه حفاظت اکولوژیکی مورد توجه قرار بگیرند (شکل ۳؛ جدول ۶).

نتایج میزان تناسب توسعه و حفاظت بر مبنای دامنه تخریب سیمای سرزمین در زیرحوزه‌های منطقه حفاظت شده جاجرود نشان می‌دهد که زیرحوزه‌های شماره ۱، ۵، ۱۳ و ۱۵ در طبقه  $L_{D4}$  قرار دارند که دارای بیشترین تناسب برای توسعه هستند. همچنین زیرحوزه‌های شماره ۹، ۸ و ۳ در طبقه  $L_{D3}$  قرار گرفته‌اند که برای توسعه مستعد هستند. از سویی

جدول ۶. درجه‌های تخریب در سیمای سرزمین

شماره زیرحوزه	مساحت (هکتار)	کد طبقه	شماره زیرحوزه	مساحت (هکتار)	کد طبقه
۹	۲۲۳۷/۲۳	$L_{D3}$	۱	۶۱۰۲/۳۵	$L_{D4}$
۱۰	۴۲۰۴/۷۶	$L_{D2}$	۲	۲۹۳۳/۶۳	$L_{D2}$
۱۱	۳۱۰۱/۶۳	$L_{D1}$	۳	۵۱۶۵/۱۵	$L_{D3}$
۱۲	۳۲۷۲/۳۸۰	$L_{D2}$	۴	۱۳۳۹/۲۲	$L_{D1}$
۱۳	۸۶۴۴/۳۳	$L_{D4}$	۵	۸۴۱۹/۴۹	$L_{D4}$
۱۴	۳۲۰۸/۶۱	$L_{D1}$	۶	۶۴۰۸/۳	$L_{D3}$
۱۵	۸۵۱۷/۹۸	$L_{D4}$	۷	۳۷۳۳/۷۴	$L_{D1}$
۱۶	۲۱۴۴/۶۲	$L_{D1}$	۸	۶۴۱۴/۶۸	$L_{D3}$

آسیب‌پذیری بوم‌شناختی در سطح سیمای سرزمین منطقه حفاظت شده جاجرود است. نتایج این مطالعه نشان‌دهنده

بحث و نتیجه‌گیری  
هدف از انجام این پژوهش تحلیل تخریب و تعیین میزان

تفاوت دو مدل تخریب سرزمین (قدیمی) و سیمای سرزمین (جدید) در تعیین شدت نمایه فعالیت انسانی، آسیب‌پذیری بوم‌شناختی و آستانه طبقه‌های تخریب است. در روش تخریب سرزمین (روش قدیمی)، فهرست و شدت برای نمایه‌های فعالیت انسانی بر اساس کار میدانی و نظر کارشناسی تعیین شده است (۲). در روش قدیمی، تراکم فیزیولوژیک جمعیت به عنوان اهمیت تقاضای استفاده از اراضی کشاورزی به صورت مشخصه‌ای جدا از سایر فعالیت‌ها بررسی می‌شود. دامنه طبقه‌های تخریب در روش قدیمی بر اساس منطقه فازی تعیین شده است (۷). در این روش (مدل تخریب سیمای سرزمین) از نمایه‌های سیمای سرزمین به عنوان مؤلفه‌های تخریب به طور کامل بهره گرفته می‌شود. از نمایه‌های سیمای سرزمین می‌توان در برنامه‌ریزی برای منابع طبیعی و کاربری پایدار زمین استفاده کرد. در عمل نمایه‌های سیمای سرزمین به عنوان شاخص‌های کمی ساز محیط‌زیست مطرح می‌شوند (۳۰). ابزار تصمیم‌گیری در مدل تخریب سیمای سرزمین بر اساس نمایه‌های شدت، آسیب‌پذیری بوم‌شناختی و اعداد تخریب ( $L_D$ )، دامنه و آستانه‌های تعیین شده توسط نمایه‌ها در سطوح مختلف سیمای سرزمین است (۴۴). یکی از مزیت‌های ارزیابی به کمک نمایه‌های سیمای سرزمین، آگاهی از میزان شدت تخریب در سیمای سرزمین در کوتاه‌ترین زمان ممکن با داده رقومی است که قابل مقایسه با تکرار مطالعه در آینده است. از سوی دیگر، در مدل تخریب سیمای سرزمین جهت تعیین سلسله مراتب تخریب بین واحدهای کاری (زیرحوزه‌ها)، حداقل نظرهای کارشناسی قابل اعمال است که با استفاده از نتایج به دست آمده از سلسله مراتب تخریب بین واحدهای کاری می‌توان به برنامه‌ریزی نزدیک‌تر به وضع موجود در محیط دست پیدا کرد. همچنین با رتبه‌بندی اولیه‌ای که از روش مدل تخریب سیمای سرزمین به دست می‌آید، می‌توان اولویت‌هایی را برای شروع پروژه‌های علمی حفاظت و بازگردانی بوم‌شناختی بر اساس میزان تخریب در پهنه‌ها مشخص نمود. (۱). برای بهبود این مدل پیشنهاد می‌شود که حد آستانه‌ها در

تخربی پوشش طبیعی و تغییر کاربری بوده است که با نتایج مطالعه جعفری و همکاران (۲۷) همسو است. جعفری و همکاران (۲۷) در مطالعه‌ای با هدف بررسی تغییرات کاربری در منطقه حفاظت شده جاجرود، به این نتیجه رسید که بیشترین کاهش کاربری چه از لحاظ درصد و چه از لحاظ مساحت مربوط به کاربری مرتع خوب بوده است که بیانگر تخریب و تغییر کاربری پوشش مرتع خوب در منطقه حفاظت شده جاجرود است. همچنین مطالعه جعفری نشان داد که کاربری مسکونی در طول دوره مطالعه روندی افزایشی داشته و بیشترین درصد افزایش میان کاربری‌های منطقه، مربوط به کاربری مسکونی بوده است. در صورت عدم مدیریت صحیح منطقه، این تغییرات می‌تواند موجب کاهش سطح طبیعی و تغییر کارکرد منطقه و همچنین کاهش تنوع زیستی منطقه شود که این روند مخالف با اهداف حفاظتی آن‌ها است.

در انجام پژوهش حاضر از نسخه سیمای سرزمین ارائه شده برای مدل تخریب استفاده شد. به‌منظور عینی‌سازی آثار فعالیت‌ها و نتایج تخریب در سرزمین، شیوه‌های متفاوتی توسط پژوهشگران مورد استفاده قرار گرفته است. بررسی پژوهش‌های صورت گرفته، بیان‌کننده رویکردهای متفاوت دسته‌بندی زیرحوزه‌ها و تعیین عوامل تأثیرگذار بر تخریب و تغییرات سرزمین است. نوری (۱۸) برای تعیین مرز، حوزه‌های سیاسی را به عنوان واحد کاری در نظر گرفت. محدود و منصوری (۱۴) نیز واحد کاری منطقه مطالعاتی خود را بر اساس شبکه‌بندی UTM قرار دادند. در این مطالعه از زیرحوزه‌های آبخیز به عنوان واحد کاری استفاده شد.

همچنین استفاده از نمایه‌های سیمای سرزمین توسط سایر پژوهشگران (۲۱ و ۲۸) به عنوان رویکردی متفاوت در کمی‌سازی و تحلیل تخریب سرزمین مطرح می‌باشند. نتایج پژوهش‌های آذری دهکردی (۲۱)، ارائه یک سامانه پشتونه تصمیم‌گیری سریع برای ارزیابی پیامد فعالیت‌ها در تخریب حوزه سیمای سرزمین، تحت عنوان مدل تخریب سیمای سرزمین است که به عنوان مبنا در سایر پژوهش‌ها (۱ و ۲۸) استفاده شد.

۶. جوزی، س.ع.، س. رضایان، م. ایرانخواهی و ف. دیبری. ۱۳۹۲. بررسی آثار محیط زیستی توسعه شهری و خدماتی در شهر بندرعباس با به کارگیری مدل تخریب و پیشنهاد راهکارهای مدیریتی. آمایش سرزمین، ۵(۲۵): ۳۱۷-۳۳۴.
۷. چمنی، ع.، م. مخدوم فرخنده، م. جعفری، ن. خراسانی و م. چراغی. ۱۳۸۴. ارزیابی آثار توسعه بر محیط زیست استان همدان با کاربرد مدل تخریب. محیط‌شناسی، ۳۱(۳۷): ۳۵-۴۴.
۸. رحیمزادگان، م. و م. پورغلام. ۱۳۹۵. تعیین سطح ریز کشت گیاه زعفران با استفاده از تصاویر لندست (مطالعه موردی: شهرستان تربت حیدریه). سنجش از دور و سامانه اطلاعات جغرافیایی در منابع طبیعی، ۷(۴): ۹۷-۱۱۵.
۹. سپهر، ح.، م. مخدوم، ش. فریادی و م. رمضانی مهریان. ۱۳۹۴. ارزیابی کیفیت سرزمین در مناطق حفاظت شده با استفاده از مدل تخریب (مطالعه موردی: مجموعه حفاظت شده توران). پژوهش‌های محیط زیست، ۶(۱۱): ۱۱۹-۱۳۰.
۱۰. شیخ‌گودرزی، م.، ا. علیزاده شباعی، ع. سلمان ماهیتی و ج. فقهی. ۱۳۹۱. ارزیابی آثار توسعه بر محیط زیست حوزه کرانه‌گرد با کاربرد مدل تخریب سیمای سرزمین. محیط زیست طبیعی، ۵(۲): ۲۲۳-۲۳۴.
۱۱. طبییان، م.، ا. ستوده، ک. شایسته و ر. چلبیانلو. ۱۳۸۶. جستاری بر مفاهیم و روش‌های برآورد کمی ظرفیت بر دو ارایه یک نمونه کاربردی بر پایه تجزیه برنامه‌ریزی راهبردی توسعه گردشگری دره عباس‌آباد- گنجانه همدان. هنرهای زیبا، ۲۹: ۱۷-۲۸.
۱۲. کریمی فیروزجایی، م. و م. کیاورز مقدم. ۱۳۹۵. بررسی ارتباط بین دما، شار تابش خالص با خصوصیات بیوفیزیکی و کاربری اراضی با استفاده از تصاویر ماهواره‌ای لندست. ۸. سنجش از دور و سامانه اطلاعات جغرافیایی در منابع طبیعی، ۷(۴): ۷۹-۹۶.
۱۳. مخدوم، م. ۱۳۹۳. شالوده آمایش سرزمین. انتشارات دانشگاه تهران. ۳۰۰ صفحه.
۱۴. مخدوم، م. و م. منصوری. ۱۳۷۸. بررسی و شناخت اثرات توسعه بر محیط زیست هرمزگان به روش مدل تخریب. محیط‌شناسی، ۲۵(۲۳): ۴۹-۵۶.
۱۵. مکرونی، س.، غ. سیزقبایی، ش. یوسفی خانقاہ و س. سلطانیان. ۱۳۹۵. آشکارسازی روند تغییرات کاربری اراضی تالاب

حوزه‌ها و زیرحوزه‌ها برای هر کاربری به ویژه کاربری شهری و کشاورزی از لحاظ مساحت تعیین شود و همچنین بعد اقتصادی اجتماعی مدل بیشتر مورد توجه قرار گیرد تا در نهایت بتوان به شیوه‌ای سازگارتر در تصمیم‌گیری‌ها گنجانده شوند. به نظر می‌رسد که تعیین آستانه‌ها برای هر کشور و منطقه نیازمند مطالعه و تحقیق جدگاه‌های است و کماکان تجربیات تحقیقات نشان داده است که این امر امکان‌پذیر است. هرچند تاکنون چنین مطالعه‌ای در کشور انجام نشده است ولی برای ساختن مدل‌های تخریب محیط‌زیست با صحت و دقت بیشتر، این امر ضروری است. همچنین از دیدگاه متخصصان محیط‌زیست باید فاکتورهای اقتصادی اجتماعی بیشتر در مدل‌سازی‌ها گنجانده شود تا نتایج مدل با توجه به وضع موجود، واقعی‌تر ارائه گردد.

#### منابع مورد استفاده

۱. آذری دهکردی، ف. و ن. خزاعی. ۱۳۸۸. سامانه پشتونه تصمیم‌گیری سریع برای ارزیابی پیامد فعالیت‌ها در تخریب سیمای سرزمین حوزه آبخیز شفارود. محیط‌شناسی، ۵(۵۰): ۶۹-۸۰.
۲. اسلامی، ل. ۱۳۸۰. ارزیابی آثار توسعه بر محیط زیست پیرامون دریاچه ارومیه با کاربرد مدل تخریب. پایان‌نامه کارشناسی ارشد گروه محیط‌زیست، دانشگاه تهران. ۲۵۰ صفحه.
۳. ایرانخواهی، م. و س.ع. جوزی. ۱۳۹۵. رویکرد شبکه‌بنده هنگرآگون در ارزیابی تخریب سیمای سرزمین (مورد مطالعه: شهرستان شمیرانات). آمایش سرزمین، ۸(۲): ۲۲۹-۲۵۰.
۴. بیر، ا. و ک. هیگینز. ۱۳۹۳. برنامه‌ریزی محیطی برای توسعه زمین. ترجمه: سید حسین بحرینی و کیوان کریمی. انتشارات دانشگاه تهران. ۵۰۲ صفحه.
۵. جعفری، ع.، ن. یارعلی و س. آزادگان دهکردی. ۱۳۹۳. ارزیابی اثرات توسعه بر محیط زیست استان چهارمحال و بختیاری و تعیین اولویت دهستان‌ها برای توسعه با استفاده از مدل تخریب. جغرافیا و آمایش شهری- منطقه‌ای، ۴(۱۳): ۱۰۷-۱۱۸.

26. Green DG, Klomp N, Rimmington G, Sadedin S. 2006. Complexity in Landscape Ecology. Springer, New York. 208 pp.
27. Jaafari S, Sakieh Y, Shabani AA, Danehkar A, Nazarisamani A-a. 2016. Landscape change assessment of reservation areas using remote sensing and landscape metrics (case study: Jajroud reservation, Iran). Environment, Development and Sustainability, 18(6): 1701-1717.
28. Khazaei N, Azari-Dehkordi F. 2008. Forest landscape degradation assessment in Dokeh watershed, Iran. Journal of International Environmental Application & Science, 3(2): 91-100.
29. Lausch A, Herzog F. 2002. Applicability of landscape metrics for the monitoring of landscape change: issues of scale, resolution and interpretability. Ecological Indicators, 2(1): 3-15.
30. Leitao AB, Miller J, Ahern j, McGarigal K. 2006. Measuring Landscapes: A Planners Handbook. Island Press, Washington D C. 250 pp.
31. Lu D, Weng Q. 2007. A survey of image classification methods and techniques for improving classification performance. International Journal of Remote Sensing, 28(5): 823-870.
32. Makhdoom MF. 2002. Degradation model: a quantitative EIA instrument, acting as a Decision Support System (DSS) for environmental management. Environmental Management, 30(1): 151-156.
33. McGarigal K, Marks B J. 1995. Fragstats: Spatial Pattern Analysis Program for Quantifying Landscape Structure. USA: U.S. Dept. of Agriculture, Forest Service, Pacific Northwest Research Station. 122 pp.
34. Mo W, Wang Y, Zhang Y, Zhuang D. 2017. Impacts of road network expansion on landscape ecological risk in a megacity, China: A case study of Beijing. Science of the Total Environment, 574: 1000-1011.
35. Pei T, Qin C-Z, Zhu A-X, Yang L, Luo M, Li B, Zhou C. 2010. Mapping soil organic matter using the topographic wetness index: a comparative study based on different flow-direction algorithms and kriging methods. Ecological Indicators, 10(3): 610-619.
36. Peng J, Wang Y, Zhang Y, Wu J, Li W, Li Y. 2010. Evaluating the effectiveness of
- هور العظيم با استفاده از تکنيك سنچش از دور و سيسنتم اطلاعات جغرافيايي. سنچش از دور و سامانه اطلاعات جغرافيايي در منابع طبیعی، ۷(۳): ۸۹-۹۹.
۱۶. منوري، س. م. ۱۳۸۴. ارزیابی اثرات زیست محیطی. نشر میترا، صفحه ۴۶۲.
۱۷. مهندسین مشاور بوم آباد. ۱۳۸۰. مطالعه طرح مدیریت زیست محیطی منطقه جاجرود. جلد دهم. سازمان حفاظت محیط زیست (دفتر زیستگاهها و امور مناطق). ۱۹۳ صفحه.
۱۸. نوری، ع. ا. ۱۳۷۶. مطالعه آثار توسعه بر محیط زیست در استان کرمانشاه با استفاده از مدل تخریب. پایان نامه کارشناسی ارشد گروه محیط زیست، دانشگاه تهران. ۱۹۷ صفحه.
۱۹. یارعلی، ن. ع. سلطانی، ع. جعفری، د. مافی غلامی و م. محمودی. ۱۳۸۹. ارزیابی اثرهای محیط زیستی توسعه بر منطقه حفاظت شده اشتراکوه با استفاده از مدل تخریب. پژوهش های محیط زیست، ۱(۱): ۱۳-۲۲.
20. Aghnoum M, Feghhi J, Makhdoum M, Jabbarian Amiri B. 2014. Assessing the environmental impacts of forest management plan based on matrix and landscape degradation model. Journal of Agricultural Science and Technology, 16(4): 841-850.
21. Azaridehkordi F. 2005. Environmental Impact Assessment of Dams in Japan and Iran: a Landscape Ecological Modeling Perspective. PhD Thesis, Hiroshima University. 358 pp.
22. Canter LW. 1996. Environmental Impact Assessment. Mc Graw- Hill, New York. 660 pp.
23. Chander G, Markham B. 2003. Revised Landsat-5 TM radiometric calibration procedures and postcalibration dynamic ranges. IEEE Transactions on Geoscience and Remote Sensing, 41(11): 2674-2677.
24. Gavrilidis AA, Ciocaneeaa CM, Niaa MR, Onosea DA, Nastase I. 2016. Urban Landscape Quality Index – planning tool for evaluating urban landscapes and improving the quality of life. In: International Conference – Environment at a Crossroads: SMART approaches for a sustainable future. Procedia Environmental Sciences, Bucharest, 12-15 November, 155 – 167.
25. Gergel SE, Turner MG. 2002. Learning Landscape Ecology: A Practical Guide to Concepts and Techniques. Springer, New York. 316 pp.

- landscape metrics in quantifying spatial patterns. *Ecological Indicators*, 10(2): 217-223.
37. Randolph J. 2004. Environmental Land use Planning and Management. Island press, Washington D C. 664 pp.
38. Schulz JJ, Cayuela L, Echeverria C, Salas J, Benayas JMR. 2010. Monitoring land cover change of the dryland forest landscape of Central Chile (1975–2008). *Applied Geography*, 30(3): 436-447.
39. Turner BL, Kasperson RE, Matson PA, McCarthy JJ, Corell RW, Christensen L, Eckley N, Kasperson JX, Luers A, Martello ML. 2003. A framework for vulnerability analysis in sustainability science. *Proceedings of the National Academy of Sciences*, 100(14): 8074-8079.
40. United Nations. 2014. World Urbanization Prospects: The 2014 Revision, Highlights (ST/ESA/SER.A/352). Department of Economic and Social Affairs, Population Division. 32 pp.
41. Zadeh LA. 1965. Fuzzy sets. *Information and Control*, 8(3): 338-353.
42. Zadeh LA. 1975. Fuzzy logic and approximate reasoning. *Synthesism*, 30(3-4): 407-428.
43. Zeilinski J. 2002. Watershed vulnerability analysis, Center for Watershed Protection, Ellicott City, MD. 22 pp.
44. Zeng H, Wu XB. 2005. Utilities of edge-based metrics for studying landscape fragmentation. *Computers, Environment and Urban Systems*, 29(2): 159-178.



## Degradation assessment of Jajrood protected area using landscape degradation model

A. Danehkar<sup>1</sup>, Sh. Jafari<sup>2\*</sup>

1. Assoc. Prof. College of Natural Resources, University of Tehran  
2. PhD. Student of Environment, University of Tehran

---

### ARTICLE INFO

**Article history:**

Received 31 May 2017

Accepted 30 July 2017

Available online 23 August 2017

---

**Keywords:**

Landscape degradation model  
Ecological vulnerability  
Jajrood protected area  
Landscape indicators

---

---

### ABSTRACT

Degradation model is a method for environmental impact assessment and it has been widely applied for accumulative impact assessment of human activities. In addition, landscape indicators have been widely used in landscape planning as quantitative tools. One important application of landscape metrics is their contribution to landscape degradation model. The goal of this research was to assess landscape degradation in Jajrood protected area. In doing so, landscape indicators were calculated using a land use/cover map of Jajrood protected area for 16 sub basins. For land use/cover mapping, Landsat satellite image was firstly pre-processed, and then, hybrid classification approach was undertaken to categorize the image into different land use/cover categories. According to landscape degradation model, ecological vulnerability and the severity of activities as well as the degradation degree were calculated for the targeted landscape. The results of this research indicated that sub basin 5 with a value of 31 had the highest level of landscape degradation and sub basins 1, 13 and 15 with values 25, 25 and 22, respectively, were on the next orders in Jajrood protected area. In addition, sub basins 16, 7 and 4 with values 3.5, 3.25 and 3.25, respectively, were least degraded and these sub basins had the least level of fragmentation. The results show that 68% of the area was outlined to be potential for development or further development, only 17% of the area is suitable for protection. Approximately 13% of the area should be considered for rehabilitation that demonstrated natural land cover change and degradation in the protected area.

---

\* Corresponding author e-mail address: jaafari@ut.ac.ir